



## Hydrological study of the Wadi Jarf basin using Geographic Information Systems

Mosa Khaleel Saeid <sup>1\*</sup>, Jumaa Ali Elmalian <sup>2</sup>

<sup>1,2</sup> Department of Geography, Faculty of Arts, Al-Asmarya Islamic University, Libya

دراسة هيدرولوجية لحوض وادي جarf باستخدام نظم المعلومات الجغرافية

موسى خليل سعيد <sup>1\*</sup>، جمعة علي المليان <sup>2</sup>

<sup>1,2</sup> قسم الجغرافيا، كلية الآداب، الجامعة الأسلامية، ليبيا

\*Corresponding author: [m.saeid@asmarya.edu.ly](mailto:m.saeid@asmarya.edu.ly)

Received: October 24, 2025

Accepted: January 26, 2026

Published: February 08, 2026

### Abstract:

This scientific paper investigates the hydrological and morphometric characteristics of the Wadi Jarf basin, located in the Sirte region of central Libya, utilizing Geographic Information Systems (GIS) and Digital Elevation Model (DEM) data with a resolution of 12 meters. The research aims to establish a precise database for the basin's spatial, formal, and topographical features to understand their direct influence on hydrological behavior, including runoff volume and peak discharge. The methodology integrates regional, analytical, and quantitative approaches, applying various mathematical equations to derive critical parameters. Results indicate that the basin covers a substantial area of 2519.81 km<sup>2</sup> with a perimeter of 341.69 km and a length of 103 km. Morphometric analysis reveals that the basin's shape tends toward an elongated or triangular form rather than circular, with a circularity ratio of 0.271 and an elongation ratio of 0.55. These geometric properties, combined with a low average slope of 2.9 meters per kilometer, significantly impact the flow timing. Hydrologically, the study found that the concentration time reaches 21 hours and the lag time is 12.6 hours, reflecting the slow response of the basin to rainfall events due to its large area and low relief. The estimated annual runoff volume is approximately 0.021 billion cubic meters, representing only 4.38% of the total rainfall, while the flow velocity was recorded at 4.9 m<sup>3</sup>/hour. The drainage network consists of six orders with a total of 3429 stream segments, showing a low drainage density of 1.36 km/km<sup>2</sup>. The hypsometric integral of 29.18 suggests the basin has reached an advanced geomorphological stage (old age). The study concludes that the risk of flash floods is relatively low and recommends leveraging these GIS-based results for sustainable water resource management and agricultural planning in the region.

**Keywords:** Wadi Jarf Basin, Digital Elevation Model (DEM), Geographic Information Systems (GIS), Hydrological Characteristics, Concentration Time, Flow Velocity.

## الملخص

تتناول هذه الورقة العلمية دراسة الخصائص الهيدرولوجية والمورفومترية لحوض وادي جarf الواقع في منطقة سرت بوسط ليبيا، وذلك باستخدام نظم المعلومات الجغرافية (GIS) وبيانات نموذج الارتفاع الرقمي (DEM) بدقة تمييز 12 متراً. يهدف البحث إلى بناء قاعدة بيانات دقيقة للسمات الماسحية والشكالية والتضاريسية لحوض لفهم تأثيرها المباشر على السلوك الهيدرولوجي، بما في ذلك حجم الجريان وذروة التصريف. اعتمدت المنهجية على التكامل بين المناهج الإقليمية والتحليلية والكمية، مع تطبيق معادلات رياضية متنوعة لاستخراج المؤشرات الحيوية. أظهرت النتائج أن الحوض يغطي مساحة كبيرة بلغت 2519.81 كم<sup>2</sup>، بمحيط قدره 341.69 كم وطول يصل إلى 103 كم. وكشف التحليل المورفومترى أن شكل الحوض يميل إلى الاستطالة أو الشكل المثلثي بدلاً من الاستدارة، حيث بلغت نسبة الاستدارة 0.271 ونسبة الاستطالة 0.55. هذه الخصائص الهندسية، مسافة إلى انخفاض معدل الانحدار البالغ 2.9 متر لكل كيلومتر، أثرت بشكل كبير على توقيتات التدفق. ومن الناحية الهيدرولوجية، وجدت الدراسة أن زمن التركيز يصل إلى 21 ساعة وزمن التباطؤ 12.6 ساعة، مما يعكس استجابة الحوض البطيئة للعواصف المطرية نتيجة اتساع المساحة وقلة التضرس. كما قدر حجم الجريان السطحي السنوي بنحو 0.021 مليار متر مكعب، وهو ما يمثل 4.38% فقط من إجمالي الأمطار، بينما بلغت سرعة الجريان 4.9 م<sup>3</sup>/ساعة. وت تكون شبكة التصريف من ست رتب تضم 3429 مجراً مائياً، مع كثافة تصريف منخفضة بلغت 1.36 كم/كم<sup>2</sup>. ويشير التكامل الهيسومترى البالغ 29.18 إلى وصول الحوض لمرحلة متقدمة من الدورة الجيومورفولوجية (مرحلة الشيخوخة). خلصت الدراسة إلى أن خطر الفيضانات يعتبر منخفضاً نسبياً، وأوصت بضرورة الاستفادة من هذه النتائج القائمة على نظم المعلومات الجغرافية في إدارة الموارد المائية والتحطيط الزراعي المستدام في المنطقة.

**الكلمات المفتاحية:** حوض وادي جarf، نموذج الارتفاعات الرقمي (DEM)، نظم المعلومات الجغرافية (GIS)، الخصائص الهيدرولوجية، زمن التركيز، سرعة الجريان.

## المقدمة

إن الدراسات الجغرافية عامة والجيومورفولوجية خاصة تعتمد على المنهج الوصفي في عملية البحث، ولكن مع التطور العلمي أصبحت الوسائل الإحصائية علامة مميزة في البحث الجيومورفولوجي، وخاصة بعد الدراسات التي قام بها روبرت هورتون (Horton) عام 1945؛ حيث ظهرت بعدها الدراسات المورفومترية في الدراسة الهيدرولوجية (ناصر، 2016)، إذ يمكن الحصول على البيانات الكمية المميزة للخصائص الماسحية والتضاريسية والشكالية لأحواض الأودية من القياسات التي تجرى على الخرائط الخاصة بالمنطقة، ولكن هذه البيانات تتضمن الكثير من المعلومات النسبية وليس كلها مؤكدة؛ وذلك بسبب اختلاف دقة الخرائط الكنتورية والطبوغرافية حسب مقياس الرسم. وبعد التطور العلمي في نظم المعلومات الجغرافية والاستشعار عن بعد في معالجة الخرائط والمرئيات الفضائية ونمذجة الارتفاع الرقمي (Digital Elevation Model - DEM)، أصبح لها دور كبير في الحصول على التحليل والقياسات الهيدرولوجية لأحواض الأودية بشكل دقيق وأسرع زمنياً (بن طاهر، 2022). ويقصد بالتحليل المورفومترى هو عملية التحليل الكمي وقياس الخصائص الهندسية لمظاهر سطح الأرض، ومن هذا الأساس تعد الدراسات المورفومترية ذات أهمية كبيرة في الدراسات الهيدرولوجية؛ لأنها حجر الأساس في دراسة أحواض التصريف المائي، لكونها تعمل على بناء قاعدة بيانات لخصائص الحوض الماسحية والشكالية والتضاريسية، وتوضيح السمات والدلائل الهيدرولوجية والمورفولوجية التي يمكن من خلالها ربط نوع العلاقات التي تجمع بين متغيرات الحوض (الدليمي والجابري، 2018). والهدف من هذا البحث هو معرفة أهم السمات والمدلولات الهيدرولوجية والجيومورفولوجية لحوض وادي جarf، من خلال دراسة وتحليل خصائصه المورفومترية والهيدرولوجية باستخدام نظم المعلومات الجغرافية وبالاعتماد

على نموذج الارتفاعات الرقمية؛ وذلك باعتباره أحد أهم الأودية التي تقع في منطقة سرت بوسط ليبيا، والاستفادة من نتائج هذا البحث في الدراسات التخطيطية والتنمية بالمنطقة.

#### **مشكلة البحث :**

يمكن صياغة تساؤلات الدراسة في السؤالين التاليين:

1. ما هي أهم الخصائص المورفومترية لحوض وادي جارف التي لها علاقة بالدراسات الهيدرولوجية؟
2. ما هي أهم الخصائص الهيدرولوجية لحوض وادي جارف؟

#### **الفرضيات :**

تعد فرضيات الدراسة إجابة مؤقتة لتساؤلات المشكلة، حيث تقبل أو تُرفض بعد استكمال الدراسة، ولهذا يمكن صياغة الفرضيات على النحو التالي:

1. توجد العديد من الخصائص المورفومترية لحوض وادي جارف، والتي تتنوع حسب الخصائص المساحية والتضاريسية والشكلية وخصائص شبكة المائة التي لها علاقة بهيدرولوجية الوادي.
2. توجد مجموعة من الخصائص الهيدرولوجية لوادي جارف يمكن من خلالها دراسة الحوض هيدرولوجياً.

#### **الأهداف :**

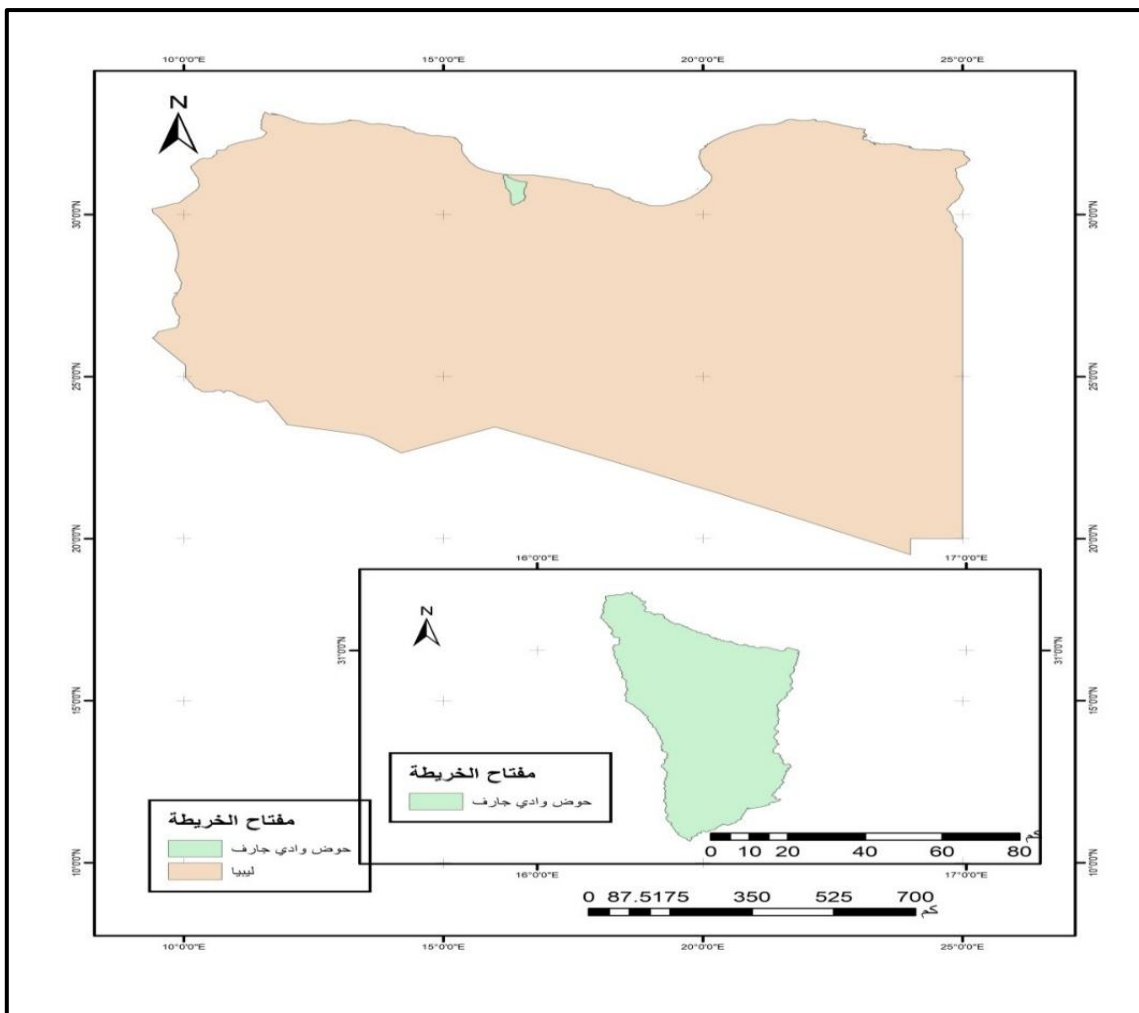
تتمثل أهداف البحث في النقاط التالية:

1. تحليل الخصائص المورفومترية لحوض وادي جارف والمتمثلة في الخصائص المساحية والتضاريسية والشكلية وخصائص شبكات التصريف المائي.
2. التعرف على أهم المدلولات الهيدرولوجية لحوض وادي جارف.
3. التعرف على أهم الخصائص الهيدرولوجية لحوض الوادي.
4. التعرف على قدرة تقنية نظم المعلومات الجغرافية في بناء قاعدة بيانات قابلة للتطوير والتحديث، والاعتماد عليها في إعداد خرائط تساهم في وضع الخطط التنموية الخاصة بالموارد المائية.

#### **الأهمية:**

تأتي أهمية دراسة الخصائص المورفومترية والهيدرولوجية لحوض وادي جارف باعتباره من أهم الأودية التي تقع في وسط ليبيا وبالتحديد في منطقة سرت، وهذه المنطقة تُعد من المناطق شبه الجافة التي يقطنها العديد من السكان الذين يمارسون حرف الزراعة والرعى (المزوجي وعون، 2020). إن تحليل الخصائص المورفومترية والهيدرولوجية يساعد الجهات المسؤولة في إجراء الخطط التنموية وخاصة في مجال الزراعة، كما تتمثل أهمية هذه الدراسة فيما ستبينه من معلومات علمية تثري المكتبة الجغرافية عن أحد أهم الأودية في ليبيا.

**منطقة الدراسة:** يقع وادي جارف في المنطقة الوسطى شمال ليبيا وبالتحديد في منطقة سرت، حيث يمتد بين دائري عرض  $30^{\circ}30'$  إلى  $31^{\circ}17'$  شمالاً، وبين خط طول  $16^{\circ}08'$  إلى  $16^{\circ}36'$  شرقاً، وهو يمتد من المناطق المرتفعة الجنوبية باتجاه الشمال ليصب في البحر المتوسط كما هو موضح بالخريطة رقم (1).



### خريطة (1): موقع منطقة الدراسة.

المصدر: عمل الباحثين باستخدام تقنية نظم المعلومات الجغرافية.

#### منهجية البحث :

تم الاعتماد على عدة مناهج للبحث من أجل ضمان تحليل شامل يحقق أهداف البحث والوصول إلى نتائج دقيقة، وتمثل هذه المناهج في الآتي:

1. المنهج الإقليمي: تم الاعتماد عليه في دراسة ووصف إقليم الدراسة وهو حوض وادي جارف.
2. المنهج التحليلي: تم الاعتماد على تقنية نظم المعلومات الجغرافية في هذا المنهج لاستخراج الخصائص الطبيعية بالاعتماد على نموذج الارتفاع الرقمي (DEM).
3. المنهج الكمي الإحصائي: تم الاعتماد على العديد من المعادلات الرياضية والإحصائية الموجدة في متن البحث؛ وذلك من أجل استبطاط الخصائص المورفومترية والهيدرولوجية لحوض وادي جارف ومدلولاتها الهيدرولوجية (الدليمي والنيش، 2024).

#### البيانات والتقنيات المستخدمة في البحث

اعتمدت الدراسة في استقاء بياناتها وتحليلها على حزمة من التقنيات الجيومكانية والبيانات الرقمية الحديثة، وذلك لضمان دقة النتائج المورفومترية والهيدرولوجية:

1. **نموذج الارتفاع الرقمي (Digital Elevation Model - DEM):** تم استخدام بيانات القمر الصناعي ASTER بدقة تميز مكاني تبلغ 12 متراً. يُعد هذا النموذج الركيزة الأساسية في استنطاق

حدود الحوض، ورسم شبكة التصريف المائي، واستخراج المعاملات التضاريسية مثل الانحدار والارتفاع.

2. **نظم المعلومات الجغرافية (ArcGIS 10.3):** تم استخدام هذا البرنامج المتقدم كبيئة معالجة وتحليل رئيسية؛ حيث أجريت من خلاله عمليات المعالجة الهيدرولوجية (Hydrology Tools) لنموذج الارتفاع الرقمي، وحساب المتغيرات المورفومترية الكمية، فضلاً عن إنتاج الخرائط الموضوعية النهائية لمنطقة الدراسة بجودة عالية.

### الدراسات السابقة

استعرض البحث مجموعة من الدراسات المرجعية التي تناولت أحواض الأودية في بيئات مشابهة، وذلك لتأصيل المنهجية المتبعة:

1. **دراسة ناصر (2016):** أجرت مقارنة بين نماذج الارتفاع الرقمية (ASTER وSRTM3) في استخلاص الخصائص المورفومترية لحوض وادي تزوفت جنوب غرب ليبيا. هدفت الدراسة إلى تبيان الفروقات الجوهرية في الدقة المكانية وتأثيرها على القياسات المورفومترية المشتقة آلياً، مما عزز أهمية اختيار النموذج الأنسب للدراسات الهيدرولوجية.

2. **دراسة الراحي (2017):** ركزت على حوض وادي زازا وشبكته التصريفية، وهدفت إلى تحديد العلاقة بين الخصائص المورفومترية وعملية الجريان السطحي. أسهمت الدراسة في اختيار الموقع الأمثل لبناء سد الوادي بناءً على الخصائص التضاريسية وأبعاد الحوض، مما يبرز الأهمية التطبيقية للتحليل المورفومترى في الإدارة المائية.

3. **دراسة قناؤ (2021):** تناولت أثر المناخ على التطور الجيومورفولوجي لحوض وادي لبدة. ركزت على الخصائص المساحية والشكلية والشبكة المائية، وهدفت إلى قياس المتغيرات المورفومترية ومدى إسهامها في فهم مراحل تطور الحوض وتشكيله الجيومورفولوجي الحالي.

4. **دراسة بن طاهر (2022):** قدمت تحليلًا مورفومترياً شاملًا لأحواض التصريف بمدينة بنغازي. تميزت الدراسة باستخدام المعادلات الإحصائية الدقيقة لاستخراج المعاملات التضاريسية والشكلية، والاعتماد على نظم المعلومات الجغرافية في رسم الصور الجوية والخرائط التفصيلية التي توضح أنظمة التصريف المائي.

### الخصائص المورفومترية والهيدرولوجية للحوض

يُعد التحليل المورفومترى مدخلاً رئيسياً لفهم السلوك الهيدرولوجي، حيث ترتبط الخصائص الهندسية للحوض ارتباطاً وثيقاً بآليات الاستجابة للمطرة وحجم الجريان.

#### أولاً: الخصائص المورفومترية

تشمل مجموعة القياسات الكمية التي تصف البنية الجيومورفولوجية لحوض وادي جارف، وهي كالتالي:

1. **الخصائص المساحية:** تكتسب الخصائص المساحية أهمية قصوى لأن مساحة الحوض تمثل الوعاء الذي يستقبل التساقط المطري. فكلما اتسعت المساحة، زادت كمية الأمطار الساقطة التي تتحول إلى جريان سطحي، مما يؤدي إلى زيادة الفائض المائي (شوشى، 2021). وقد تم استخراج المعاملات التالية:

**1.1 مساحة الحوض (Area):** هي المساحة الأرضية التي تتحصر داخل خط تقسيم المياه، وتصرف مياهها عبر شبكة من المجاري نحو المصب الرئيسي. تؤثر المساحة في طول المجاري وكثافتها، وبالتالي في حجم الرواسب المنقولة وقوة التصريف (قناؤ، 2021). كما أن هناك علاقة طردية بين المساحة ونشاط عمليات التعرية المائية، خاصة في المناطق ذات البنية الجيولوجية الضعيفة (سلمان، 2022). بلغت مساحة حوض وادي جارف 2519.81 كم<sup>2</sup>، وهي مساحة شاسعة تصنفه ضمن الأحواض الكبيرة في المنطقة.

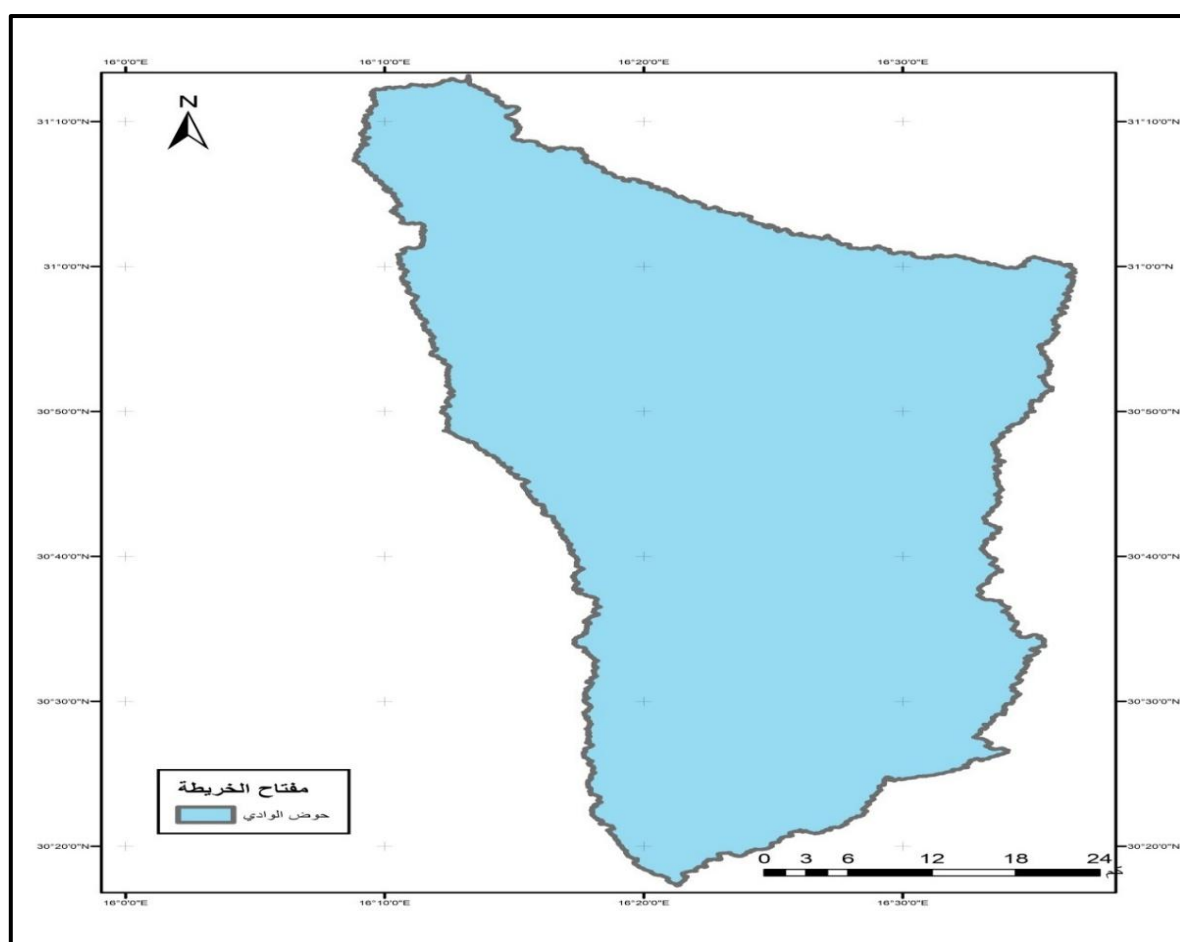
**2.1 محيط الحوض (Perimeter):** هو طول الخط الخارجي الذي يحيط بالحوض ويفصل بينه وبين الأحواض المجاورة، ويمر عادة عبر القمم والمرتفعات. يُعد المحيط متغيراً حيوياً يدخل في حساب

مؤشرات الشكل مثل معامل الاستدارة والاستطالة (الرادي، 2017؛ الدليمي والجابري، 2018). بلغ محيط الحوض 341.69 كم.

**3.1 طول الحوض (Basin Length):** يمثل المسافة المستقيمة من المصب إلى أبعد نقطة على محيط الحوض. يؤثر الطول بشكل مباشر على "زمن التركيز"؛ فالحوض الطويل يسمح بتدفق المياه بشكل أكثر تنظيماً ويقلل من فرص حدوث فيضانات مفاجئة وعنيفة مقارنة بالأحواض القصيرة والمستديرة (مجيد، 2025). بلغ طول حوض وادي جارف 103 كم.

**4.1 عرض الحوض (Basin Width):** يُحسب بقسمة مساحة الحوض على طوله (العرض المتوسط)، أو بقياس أقصى اتساع عمودي على المحور الطولي. يؤثر العرض على كمية التساقط المستقبلة؛ حيث إن اتساع الحوض يزيد من فرص انتشار العواصف المطرية (الدليمي والنيش، 2024). بلغ العرض المتوسط للحوض 24.4 كم، بينما بلغ أقصى عرض له 38 كم من خلال الخريطة (2)، يظهر أن الحوض يتسع من جهة واحدة، مما يمنحه شكلاً يميل إلى المثلث، وهو ما يعني بيدولوجياً أن قمة الفيضان فيه تكون منخفضة نسبياً وغير متزامنة للتدفق.

**2. الخصائص الشكلية:** تُستخدم مؤشرات الشكل لتحديد درجة اقتراب أو ابعاد الحوض من الشكل الدائري. يؤثر الشكل على سرعة وصول مياه الجريان من أطراف الحوض إلى المصب (شوشي، 2021). فالأحواض المستديرة تتصف بـ "فيضانات عنيفة" نظراً لوصول مياه الروافد في وقت واحد، بينما الأحواض المستطيلة أو الطولية تمتاز بتوزيع الجريان على فترات زمنية متباعدة، مما يقلل من خطورة الفيضان (العرفي، 2017).



الخريطة (2) شكل حوض وادي جارف.  
المصدر: عمل الباحثان باستخدام تقنية نظم المعلومات الجغرافية.

تعد دراسة شكل الحوض من أهم ركائز التحليل المورفومترى؛ إذ تعكس درجة التطور الجيومورفولوجي للحوض وتحكم في الخصائص الهيدرولوجية، لاسيما زمن التركيز وذروة الجريان. وقد تم حساب المؤشرات التالية:

### 1.2 نسبة الاستدارة: (Circularity Ratio - Rc)

تُعد هذه النسبة مؤشرًا كمياً يوضح مدى اقتراب الحوض من الشكل الدائري، وتتراوح قيمتها بين (0 و1). فكلما اقتربت القيمة من الواحد الصحيح، دل ذلك على أن الحوض يقترب من الشكل الدائري، مما يعني استجابة هيدرولوجية سريعة وفيضانات فجائية وعنيفة. أما إذا ابتعدت القيمة عن الواحد، فإن الحوض يميل نحو الاستطالة (قناو، 2021). وتحسب نسبة الاستدارة وفق المعادلة التالية:

$$RC = \frac{12.57A}{P^2}$$

حيث إن (A) : مساحة الحوض، و (P) : محيط الحوض، و (12.57) هي القيمة التقريرية لـ  $(4\pi)$  وبتطبيق المعادلة على حوض وادي جارف، بلغت القيمة 0.271؛ وهي قيمة منخفضة تؤكد ابتعاد الحوض عن الشكل الدائري واقترابه من الشكل المستطيل، مما يشير إلى أن موجات الفيضان فيه – في حال حدوثها – تستغرق وقتاً أطول للوصول إلى المصب، وتكون أقل خطورة مقارنة بالأحواض المستديرة.

### 2.2 معامل شكل الحوض: (Form Factor - Rf)

يعطي هذا المعامل فكرة عن مدى تناسق الحوض وانتظام شكله العام من خلال الربط بين المساحة وربع الطول. فإذا اقتربت القيمة من الواحد، كان الحوض متناسقاً وعربيضاً، وإذا انخفضت، دل ذلك على عدم التناسق واقتراب الشكل من المثلث (المزوجي وعون، 2020). وتصنف القيم كالتالي: (0.1 - 0.4) شكل مثلثي شديد التعرج، (0.4 - 0.6) مربع متعرج، وأكثر من (0.6) مربع منتظم. ويستخرج وفق المعادلة :

$$Rf = A/L^2$$

(العرفي، 2017).

وبلغ معامل الشكل لحوض وادي جارف 0.237، مما يؤكد أن الحوض يأخذ شكلاً مثلثاً شديد التعرج، وهو ما يتوافق مع الخصائص المساحية المرصودة.

### 2.3 نسبة الاستطالة: (Elongation Ratio - Re)

تعبر هذه النسبة عن العلاقة بين قطر دائرة لها نفس مساحة الحوض وطول الحوض نفسه. وتتراوح أيضاً بين (0 و1)؛ فالقيم القريبة من الصفر تشير إلى استطالة عالية (شكل مستطيل)، بينما القيم القريبة من الواحد تشير إلى شكل دائري (سلمان، 2022). ويعد الحوض عالي الاستطالة إذا كانت قيمته بين (0.3 - 0.5)، ومتوسط الاستطالة بين (0.5 - 0.7) (المرجعي، 2024). وتحسب وفق المعادلة:

$$Re = \frac{2}{L} \times \sqrt{\frac{A}{\pi}}$$

(الدلمي والنيش، 2024).

و عند التطبيق، بلغت نسبة الاستطالة 0.55، مما يصنف الحوض كحوض متوسط الاستطالة. تشير هذه النتيجة إلى أن الحوض قد قطع مرحلة زمنية متقدمة في دورته الحتية والتعروية، حيث تزداد الاستطالة مع تقدم النهر الرأسي والجانبي للمجاري المائية.

#### 2.4 معامل الاندماج (Compacting Coefficient):

يستخدم لقياس مدى التناقض بين محيط الحوض ومساحته، ومدى تماسك أجزاء الحوض جغرافياً. تشير القيم التي تزيد عن الواحد الصحيح إلى زيادة في تعرج المحيط والابتعاد عن الشكل الدائري، مما يعني ضعف الترابط المائي بين أطراف الحوض، بينما تدل القيم الأقل من الواحد على الانتظام.

$$C_C = \frac{P}{2\sqrt{\pi \cdot A}}$$

حيث إن:

- $C_C$  معامل الاندماج.
- $P$  محيط الحوض (كلم).
- $A$  مساحة الحوض (كلم<sup>2</sup>).
- $\pi$  النسبة الثابتة (3.14).

(المرجعي، 2024).

وبعد التطبيق، وجد أن معامل اندماج الحوض بلغ 1.92، وهي قيمة مرتفعة تؤكد ابتعاد الحوض تماماً عن الشكل الدائري واقترابه من الاستطالة، مما يقلل من احتمالية تزامن تدفق مياه الروافد عند المصب.

2.5 معامل الانبعاج (Lemniscate Ratio - K) يكتسب هذا المعامل أهميته من خلال مقارنة شكل الحوض بالشكل "الكمثري"، وهو ما يعالج بعض القصور في نسبة الاستدارة. تقع القيمة عادة بين (0 و 1)؛ فكلما انخفضت القيمة عن الواحد، دل ذلك على انبعاج وتفلطح الحوض وازدياد نشاط المجري الأولية والحت الرأسي، مما يعكس مرحلة متقدمة من التطور الجيومورفولوجي (سلوم، 2012). أما القيم التي تتجاوز الواحد، فتشير إلى اتجاه الحوض نحو الشكل المستطيل ويستخرج معامل الانبعاج وفق المعادلة التالية:

$$k = \frac{L^2}{4 \cdot A}$$

حيث إن:

- $K$  معامل الانبعاج.
- $L$  طول الحوض (كلم).
- $A$  مساحة الحوض (كلم<sup>2</sup>).

(العلواني، 2004).

وبلغت قيمة معامل الانبعاج لوادي جارف 1.1؛ وهي قيمة تزيد عن الواحد الصحيح، مما يعزز الاستنتاجات السابقة بأن الحوض يميل في تكوينه العام نحو الشكل المستطيل مبتعداً عن الشكل الكمثري أو الدائري.

### 3. الخصائص التضاريسية (Topographic Characteristics):

تعد الخصائص التضاريسية من أهم العوامل المؤثرة في السلوك الهيدرولوجي لأحواض الأودية، حيث تتحكم في سرعة الجريان السطحي، و زمن التركيز، وقدرة المياه على النحت والترسيب (سلمان، 2022).

#### 1.3 نسبة التضرس (Relief Ratio):

تُستخدم نسبة التضرس كمقياس لدرجة انحدار الحوض العام، وهي مؤشر لتقدير حجم الرواسب المنقولة التي تزداد بزيادة هذه النسبة. كما تساهم النسبة المرتفعة في زيادة سرعة التدفق المائي، مما يرفع من فاعلية التعرية المائية. وتجدر الإشارة إلى أن هذه النسبة تتحفظ عادةً في الأحواض ذات المساحات الكبيرة (سلمان، 2022).

وتنسخ وفق المعادلة التالية (قناو، 2021):

$$RH = \frac{H}{L}$$

حيث إن:

- $H$ : نسبة التضرس.
- $L$ : التضرس الكلي (الفرق بين أعلى وأخفض نقطة).
- $L$ : طول الحوض.

وبالنظر إلى البيانات المستخرجة من نموذج الارتفاع الرقمي (DEM)، تصل أعلى نقطة في حوض وادي جارف إلى 290 متراً، بينما تبلغ أخفض نقطة 4-أمتار (تحت مستوى سطح البحر)، كما هو موضح في الخريطة رقم (3). وبتطبيق المعادلة، بلغت نسبة التضرس 2.9؛ وهي نسبة منخفضة تؤكد اتساع مساحة الحوض ووصوله إلى مرحلة متقدمة من دورة الحتية، مما يفسر انخفاض حجم الرواسب المنقولة نتيجة قلة التضرس.

#### 2.3 التضاريس النسبية (Relative Relief):

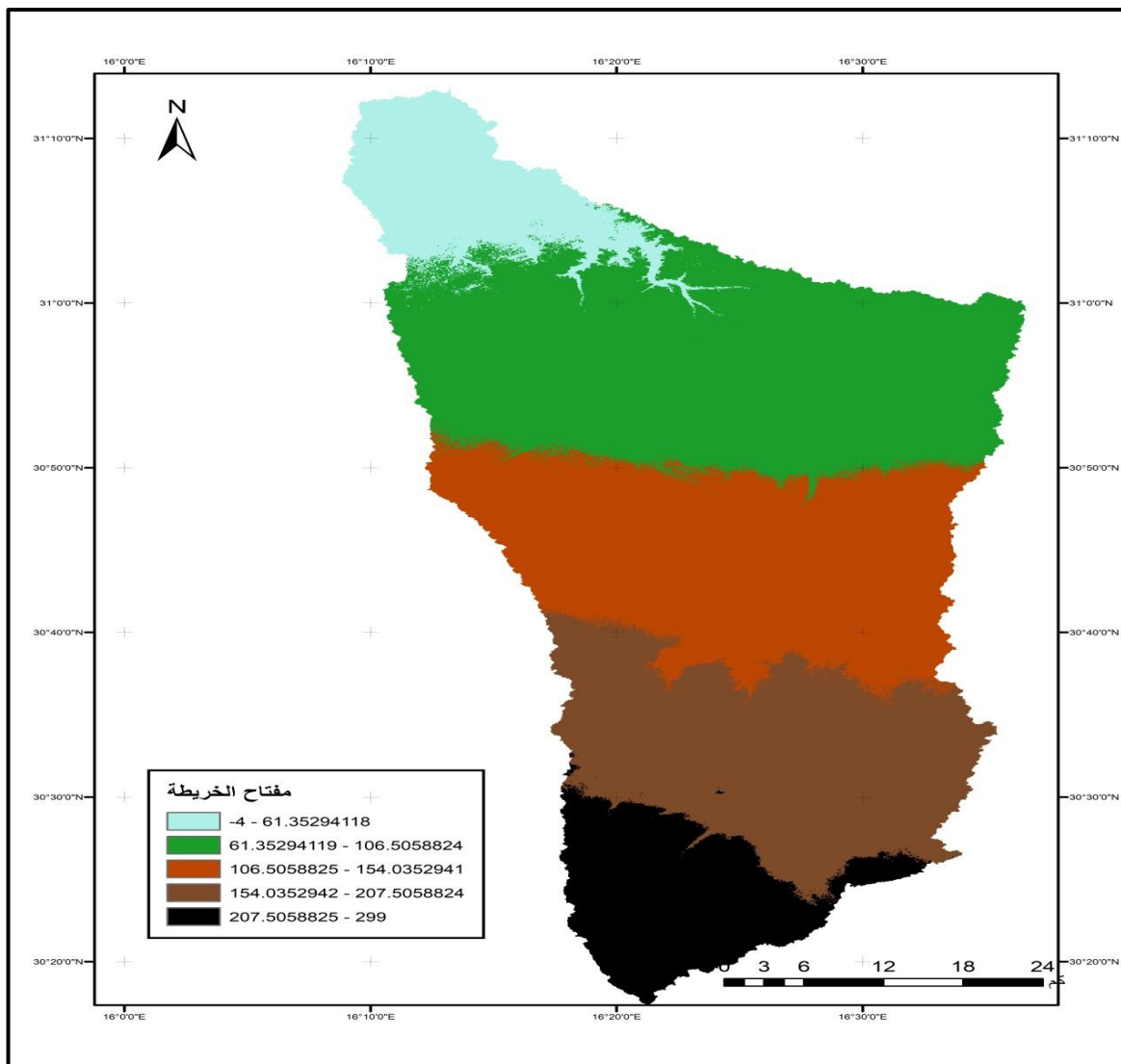
تعبر عن العلاقة بين الارتفاع الكلي للحوض وطول محيطه. تشير القيم المنخفضة إلى ضعف مقاومة الصخور لنشاط التعرية والنحت الرأسي، وغالباً ما ترتبط بالأحواض ذات المساحات الكبيرة. أما القيم المرتفعة فتشير إلى صغر المساحة وزيادة مقاومة الصخور (سلمان، 2014).

وتحسب بالمعادلة التالية (الرواشدة وأخرون، 2017):

$$Rlr = H * 100/P$$

حيث إن  $P$  : هو محيط الحوض.

و عند تطبيق المعادلة على حوض وادي جارف، بلغت القيمة 0.088؛ وهي من القيم الصغيرة التي تدلل بوضوح على كبر مساحة الحوض وطول محيطه مقارنة بارتفاعه.



**خريطة (3): الارتفاعات الرقمية لحوض وادي جارف (DEM)**  
المصدر: عمل الباحثين باستخدام تقنية (GIS) بناءً على بيانات (ASTER GDEM).

**3.3 التكامل الهيسومترى -  $Hi$ :** (Hypsometric Integral -  $Hi$ )  
يُعد من أدق المؤشرات المورفومترية للتعبير عن المرحلة الجيومورفولوجية التي يمر بها الحوض؛ فهو يحدد النسبة المتبقية من كتلة الحوض التي لم تتعرض للنحت (مجيد، 2025).  
وُيُحسب وفق المعادلة التالية:

$$Hi = \frac{\text{Average Elevation} - \text{Min Elevation}}{\text{Max Elevation} - \text{Min Elevation}}$$

يُصنف الحوض جيومورفولوجياً بناءً على قيمة  $Hi$  إلى ثلاثة مراحل (المزوغي وعون، 2020):

1. مرحلة الشباب: إذا كانت القيمة بين (60 - 79.5%).

2. مرحلة النضج: إذا كانت القيمة بين (40 - 60%).

3. مرحلة الشيخوخة: إذا كانت القيمة أقل من (40%).

وبتطبيق المعادلة، بلغت نسبة التكامل الهيسومترى لحوض وادي جارف 29.18%， مما يعني أن الحوض قد وصل إلى مرحلة الشيخوخة، حيث تم نحت معظم تضاريسه وتوسعت مساحته على حساب المرتفعات.

#### 4.3 قيمة الوعرة (Ruggedness Number):

تجمع هذه القيمة بين تضرس الحوض وكثافة التصريف المائي لتعكس درجة وعورة السطح ومدى انحدار المجرى. تتأثر هذه القيمة بالمرحلة الحتية؛ فتكون منخفضة في البداية، ثم تصل لذروتها في مرحلة النضج، لتعود الانخفاض في نهاية الدورة (الغزاوي وأخرون، 2019). وستخرج بالمعادلة التالية:

$$Rn = Dd * H/1000$$

حيث إن  $Dd$  هي كثافة التصريف المائي.

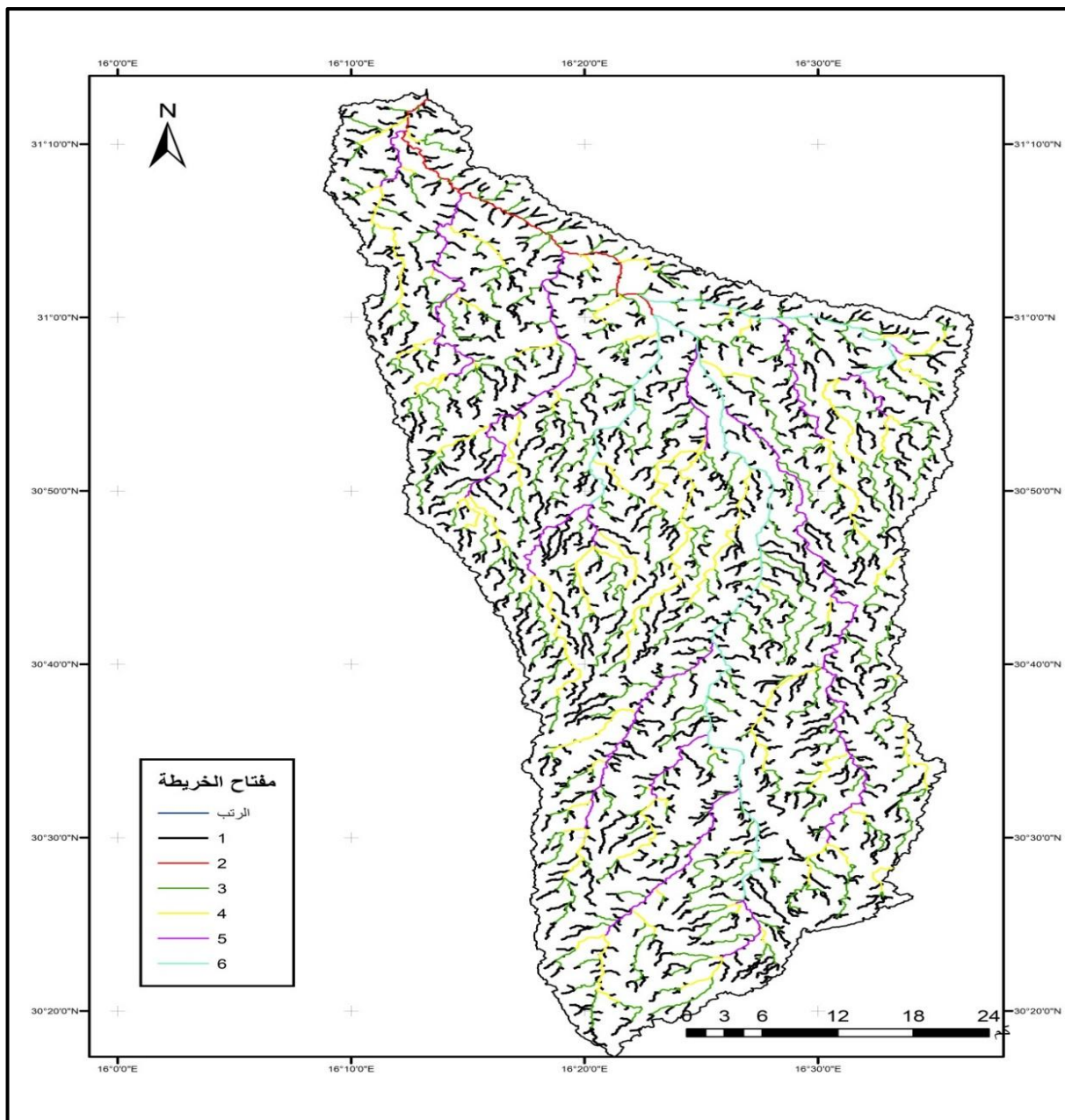
وبلغت قيمة الوعرة في حوض وادي جarf 0.38؛ وهي قيمة منخفضة جدًا تعزز النتائج السابقة التي تشير إلى أن الحوض يمر بأواخر دورته الحتية (مرحلة الشيخوخة)، حيث يتسم السطح بالاستواء النسبي وقلة التضرس الحاد.

#### 4. خصائص الشبكة المائية (Drainage Network Characteristics):

تُعد شبكة التصريف المائي الشرايين الحيوية للحوض، حيث تعكس طبيعة التفاعل بين البنية الجيولوجية، والمناخ، والغطاء النباتي، وتحكم بشكل مباشر في ميكانيكية الجريان السطحي.

#### 1.4 رتب المجرى المائي (Stream Ordering):

يُعد تصنيف رتب المجرى أمرًا بالغ الأهمية لفهم النظام الهيدروليكي وتوزيع المياه داخل الحوض. ويقصد بها التدرج الرقمي للروافد المكونة للشبكة (تيم، 2015). تبدأ الشبكة برتبة أولى تضم المجرى الصغيرة التي لا تغطيها روافد أخرى، وعند التقاء مجريين من الدرجة الأولى يتكون مجرى من الدرجة الثانية، وهكذا صعودًا حتى المصب (الرابحي، 2017). وتوضح الخريطة رقم (4) التوزيع المكاني لهذه الرتب في حوض وادي جarf.



**خريطة (4):** رتب المجاري المائية لحوض وادي جارف.  
المصدر: عمل الباحثين باستخدام تقنية (GIS) بناءً على نموذج الارتفاع الرقمي.(DEM)

#### 2.4 أعداد المجاري المائية وأطوالها:

يُعد حصر أعداد وأطوال المجاري مؤشراً جوهرياً لتحديد المرحلة الجيومورفولوجية للحوض ونسبة التشعب. فزيادة أعداد المجاري ترتبط بتقدم الدورة التحتائية (الراغبي، 2017)، بينما تعكس أطوالها خصائص الجريان السطحي والزمن الذي يستغرقه التدفق للوصول من المنبع إلى المصب (الدليمي والنيش، 2024).

من خلال تحليل البيانات في الجدول (1)، يتضح أن حوض وادي جارف يتكون من 6 رتب نهرية، بإجمالي 3429 مجرى مائي، تمتد على طول كلي يبلغ 3343.9 كم. وتحوز الرتبة الأولى على النصيب الأكبر من حيث العدد (1733 مجرى) والطول (1741.8 كم)، مما يعكس كثافة الروافد المعدنية في أعلى الحوض.

**جدول (1): أعداد وأطوال المجاري المائية حسب الرتب**

الرتبة	عدد المجاري	الطول (كلم)	النسبة %
1	1733	1741.8	52.1
2	764	809.6	24.2
3	388	376	11.2
4	316	253.2	7.6
5	171	125.6	3.8
6	57	37.7	1.1
المجموع	3429	3343.9	%100

المصدر: عمل الباحثين باستخدام تقنيات ArcGIS 10.3.

#### **3.4 نسبة التشعب: (Bifurcation Ratio - Rb)**

تحكم هذه النسبة في معدل التصريف المائي؛ حيث توجد علاقة عكسية بينها وبين احتمالية حدوث الفيضانات العنيفة. فالقيم المنخفضة تسمح بتجمع سريع للمياه، بينما القيم المرتفعة تؤدي إلى تشتت الجريان وتأخير وصوله للمصب (المزروعي وعون، 2020). وتنسخ وفق المعادلة التالية (الدليمي، 2000):

$$Rb = Nu/Nu + 1$$

حيث إن  $Nu$  : هو عدد المجاري في رتبة معينة، و  $Nu+1$  هو عدد المجاري في الرتبة التي تليها مباشرة.

**جدول (2): نسبة التشعب للمجاري المائية في الحوض**

الرتبة	عدد المجاري	نسبة التشعب
1	1733	2.26
2	764	1.96
3	388	1.22
4	316	1.84
5	171	3
6	57	--
المعدل	3429	2.1

المصدر: عمل الباحثين بناءً على نتائج التحليل المورفومترى.

بلغ المعدل العام لنسبة التشعب 2.1. ويلاحظ أن النسب تتبادر بين الرتب، إلا أنها تظل ضمن النطاق الذي يشير إلى انخفاض خطر الفيضانات الفجائية، نظراً لتوزع المياه على شبكة واسعة من الروافد.

#### 4.4 الكثافة التصريفية: (Drainage Density - Dd)

تعبر عن العلاقة بين إجمالي أطوال المجاري ومساحة الحوض. وهي مؤشر لسرعة الجريان وكفاءة التصريف؛ فكلما زادت الكثافة، ازدادت سرعة الاستجابة المائية وعمليات النحت (محمد، 2007). وتحسب بالصيغة التالية:

$$Dd = \frac{\sum L}{A}$$

وبتطبيق المعادلة، بلغت الكثافة التصريفية في حوض وادي جارف 1.36 كم/كلم<sup>2</sup>. وبمقارنة هذه النتيجة بالتصنيفات العالمية، تُعد هذه الكثافة منخفضة، وهو ما يُعزى إلى كبر مساحة الحوض، وقلة تضرسه، وسيادة المناخ شبه الجاف الذي يقلل من تشكيل مجارٍ مائية دائمة أو كثيفة.

#### ثانياً: الخصائص الهيدرولوجية (Hydrological Characteristics)

تعد دراسة الجريان السطحي والمعاملات المرتبطة به حجر الزاوية في الدراسات الهيدرولوجية، لا سيما في المناطق الجافة وشبه الجافة التي تعاني من عجز مائي وتنبذب في معدلات التساقط. يهدف هذا القسم إلى تقدير حجم الجريان السطحي، وزمن الترکيز، وزمن التباطؤ، وسرعة الجريان، وذروة التصريف لحوض وادي جارف.

#### 1. تقدير حجم الجريان السطحي: (Runoff Volume Estimation)

تكتسب دراسة حجم الجريان أهمية قصوى في مشاريع الحصاد المائي وتنمية الموارد المائية في المناطق التي تعتمد على الأمطار الموسمية. تم الاعتماد في هذه الدراسة على طريقة بيرلي (Barley Method) التي تدمج بين المتغيرات المناخية والطبوغرافية (مجيد، 2025)، وذلك وفق المعادلة التالية:

$$R = C \cdot I \cdot \frac{S \cdot W}{L}$$

حيث إن:

- R: حجم الجريان السطحي المتوقع (مليار متر مكعب).
- C: معامل ثابت يقدر بـ 0.30.
- I: حجم المطر السنوي الكلي (مليار متر مكعب). ويُحسب بضرب معدل الأمطار (191 ملم كمتوسط للفترة 1989-2022) في مساحة الحوض.
- S: معدل الانحدار (متر/كلم).
- W: معدل عرض الحوض (متر).
- L: طول الحوض (كلم).

وبعد التعويض بالقيم الخاصة بالحوض، اتضح أن حجم الجريان السطحي بلغ 0.021 مليار متر مكعب سنوياً. وبمقارنة هذه القيمة بإجمالي حجم الأمطار الساقطة (0.48 مليار متر مكعب)، نجد أن كفاءة الجريان لا تتجاوز 4.38%， بينما تُفقد النسبة الأكبر (95.62%) عبر التبخر والتنح والتربة العميقة، مما يشير إلى ندرة حدوث جريان سطحي دائم.

2. زمن التركيز:  $Tc$  (Time of Concentration) هو الفترة الزمنية اللازمة لسرعة وصول المياه من أبعد نقطة في الحوض إلى المصب (الشامخ والمبروك، 2022). توجد علاقة عكسية بين هذا الزمن واحتمالية حدوث الفيضانات الفجائية. ويتُسخَرُ وفق المعادلة التالية (الرابحي، 2017):

$$Tc = \frac{L \cdot \sqrt{A}}{H_{max} - H_{min}}$$

وبتطبيق المعادلة، وصل زمن التركيز في حوض وادي جارف إلى 21 ساعة. ويعزى هذا الزمن المرتفع إلى اتساع مساحة الحوض، وطول المجرى، وقلة التضرس العام، مما يؤدي إلى تباطؤ حركة المياه السطحية.

3. زمن التباطؤ:  $Tl$  (Lag Time) يمثل الفاصل الزمني بين مركز ثقل التساقط المطري وذروة الجريان السطحي. يعكس هذا المعامل مدى استجابة الحوض للعواصف المطالية؛ فكلما كان الحوض واسعاً وانحداره بسيطاً، زاد زمن التباطؤ (مجيد، 2025). ويتُسخَرُ وفق العلاقة:

$$Tl = 0.6 \cdot Tc$$

وبناءً على نتائج زمن التركيز، بلغ زمن التباطؤ 12.6 ساعة. تعني هذه القيمة أن الجريان الفعلي يحتاج إلى وقت طويل ليبداً بعد استمرار التساقط، مما يقلل من عنصر المفاجأة في الفيضانات.

4. سرعة الجريان:  $Velocity$  (Flow Velocity) ترتبط سرعة الجريان ارتباطاً طردياً بمعدل انحدار الحوض؛ فكلما زاد الميل زادت الطاقة الحركية للمياه. ويتُسخَرُ وفق العلاقة:

$$Velocity = L/Tc$$

وبلغت سرعة الجريان في حوض وادي جارف 4.9 كم/ساعة (أو ما يعادل القيمة المستخرجة  $m^3/\text{ساعة}$  حسب السياق الحسابي). وهي قيمة منخفضة ناتجة عن معدل انحدار لا يتجاوز 2.9 متر/كلم، ومدى تضاريس محدود (303 أمتر) موزع على طول كبير (103 كم).

5. ذروة التصريف:  $Qp$  (Peak Discharge) يُستخدم هذا المعامل لحساب أقصى كمية مياه يمكن أن يفرغها الحوض عند المصب في لحظة زمنية معينة، ويتأثر بكثافة الأمطار ومساحة الحوض (الحلبوسي، 2021). ويتُسخَرُ وفق المعادلة التالية:

$$Q_p = \frac{C \cdot A}{Tl}$$

حيث إن (C) هو معامل ثابت مقداره 0.08. وبنطبيق المعادلة، بلغت ذروة التصريف المتوقعة  $415.96 \text{م}^3/\text{ثانية}$ . تمثل هذه القيمة أقصى تدفق محتمل في حالات العواصف المطرية الشديدة، وهي ضرورية لتصميم المنشآت الهيدروليكيّة والحماية من السيول.

## النتائج

من خلال الدراسة التحليلية والمورفومترية لحوض وادي جارف، خلص البحث إلى النتائج الجوهرية التالية:

1. فاعلية التقنيات الجيومكانية: أثبتت الدراسة أن التكامل بين نماذج الارتفاع الرقمية (DEM) وتقنيات نظم المعلومات الجغرافية (GIS) يتيح بناء قاعدة بيانات مكانية وهيدرولوجية ذات دقة عالية. هذه التقنيات تجاوزت القصور في الخرائط الورقية التقليدية، ووفرت قياسات دقيقة للمعاملات التي يصعب حصرها ميدانياً، مما يجعلها أداة لا غنى عنها في التخطيط المائي (بن طاهر، 2022).
2. الضخامة الماسحية وأثرها الهيدرولوجي: يصنف حوض وادي جارف ضمن الأحواض الكبيرة في المنطقة الوسطى بلبيبا، حيث بلغت مساحته  $2519.81 \text{كم}^2$  بمحيط  $341.69 \text{كم}$ . إن هذا الاتساع الماسحي، مع طول حوض يصل إلى  $103 \text{كم}$  وعرض أقصى يبلغ  $38 \text{كم}$ ، يلعب دوراً مزدوجاً؛ فهو من جهة يزيد من كمية الأمطار المستقبلة، ومن جهة أخرى يشتت الجريان السطحي ويطيل مساره، مما يقلل من حدة الاستجابة الهيدرولوجية الفورية.
3. الهندسة الشكلية وتشتت التدفق: أكدت المؤشرات الشكلية ابتعاد الحوض تماماً عن الشكل الدائري، حيث انخفضت نسبة الاستدارة إلى 0.271، بينما بلغت نسبة الاستطالة 0.55. كما كشف معامل الشكل (0.237) عن نمط مثلثي شديد التعرج. هذه الخصائص الهندسية تعني هيدرولوجياً أن الروافد لا تصب مياهها في وقت واحد عند المصب، مما يؤدي إلى تسطح منحنى التصريف المائي وتقليل مخاطر الفيضانات الفجائية (قناو، 2021).
4. المرحلة الجيومورفولوجية والشيخوخة التضاريسية: كشفت الخصائص التضاريسية عن وصول الحوض لمرحلة متقدمة من الدورة الحتية (مرحلة الشيخوخة)؛ حيث انخفضت نسبة التضرس إلى 2.86 والتضاريس النسبية إلى 0.088. ويفوك التكامل الهيدرولوجي البالغ 29.18. أن معظم كتلة الحوض قد تعرضت للتحت عبر الأزمنة الجيولوجية، مما أدى إلى سيادة الاستواء النسبي وقلة الانحدارات الحادة.
5. كفاءة شبكة التصريف: يتميز الحوض بشبكة تصريف متطرفة من الرتبة السادسة، تضم 3429 مجراً بطول إجمالي  $3343.9 \text{كم}$ . ورغم كثرة المجرى، إلا أن معدل التشعب المنخفض (2.1) يشير إلى سيادة التحكم البنائي والليثولوجي، ويفوك أن الشبكة تعمل على توزيع المياه بشكل يقلل من تركيز التدفق في مسارات عنيفة.
6. ضعف كفاءة الجريان السطحي: كشفت التقديرات الهيدرولوجية أن حجم الجريان السطحي الفعلي لا يمثل سوى 43.8% من إجمالي الأمطار الساقطة، بينما تذهب الكتلة الأكبر (95.62%) كفواد طبيعية. هذه النتيجة تشير إلى أن الحوض في حالته الطبيعية لا يشكل خطراً فيضانياً داهماً، بل يحتاج إلى تقنيات حصاد مائي للاستفادة من الفائض البسيط المتوفر.
7. التباطؤ الهيدرولوجي: أدى التفاعل بين المساحة الشاسعة وقلة التضرس إلى رفع "زمن التركيز" إلى 21 ساعة، و زمن التباطؤ إلى 12.6 ساعة. هذا التأخير الزمني بين سقوط المطر وبداية الجريان يمنح فرصة كبيرة لعمليات الرشح والتبخّر، ويجعل سرعة الجريان منخفضة (4.9  $\text{م}^3/\text{ساعة}$ ) نتيجة لضعف الانحدار العام الذي لم يتجاوز  $2.9 \text{متر}/\text{كم}$ .
8. سعة التصريف القصوى: بلغت ذروة التصريف المحتملة  $415.96 \text{م}^3/\text{ثانية}$ ، وهي قيمة تمثل الحد الأقصى للجريان في الحالات الاستثنائية، مما يستوجبأخذها في الاعتبار عند تصميم المنشآت الهيدروليكيّة أو الطرق التي تقطع مسارات الوادي.

## الوصيات

بناءً على النتائج السابقة، توصي الدراسة بالآتي:

1. تبني النمذجة الجيومكانية الحديثة: ضرورة تحول الجهات المختصة (كالهيئة العامة للموارد المائية) نحو الاعتماد الكلي على نظم المعلومات الجغرافية والاستشعار عن بعد في دراسة الأحواض المائية، لما توفره من دقة وسرعة في اتخاذ القرار مقارنة بالطرق التقليدية.
2. الاستثمار في البيانات عالية الدقة: التوصية باستخدام نماذج ارتفاع رقمية (DEM) ذات دقة مكانية أعلى (مثل 5 متر أو 1 متر إن توفرت) ومرئيات فضائية حديثة، لتدقيق القياسات المورفومترية، خاصة في المناطق ذات التضرس المنخفض التي تتأثر فيها دقة النتائج بوضوح البيانات (ناصر، 2016).
3. إنشاءAtlas هيدرولوجي وطني: ضرورة القيام بدراسات مماثلة وشاملة لكافة الأحواض والأودية الليبية لبناء قاعدة بيانات مورفومترية موحدة، تساهم في وضع خرائط لمخاطر السيول وتحديد أنساب المواقع لمشاريع التنمية الزراعية والحساب المائي.
4. تفعيل مشاريع الحساب المائي: نظراً لضخامة مساحة الحوض وانخفاض سرعة الجريان، يوصى بإنشاء سدات ترابية أو خزانات جوفية في المناطق ذات الرتب النهرية المتقدمة لاستغلال حجم الجريان السنوي (0.021 مليار م<sup>3</sup>) في أغراض الري والرعي.
5. الإدارة المستدامة للمناطق شبه الجافة: ضرورة دمج النتائج المورفومترية (مثل مرحلة الشيخوخة وقلة التضرس) في خطط التوسيع العمراني والزراعي بمنطقة سرت، لضمان حماية التجمعات السكانية من مسارات الجريان المحتملة رغم انخفاض سرعتها.

## Compliance with ethical standards

### Disclosure of conflict of interest

The authors declare that they have no conflict of interest.

## المراجع

- [1] الراحي، منير صالح. (2017). تقييم سد وادي زازا دراسة للعوامل الجيومورفولوجية المؤثرة في اختيار موقع السدود [رسالة ماجستير غير منشورة]. جامعة بنغازي.
- [2] الرواشدة، شذا، والمساعدة، إبراهيم، والطراونة، مهند. (2017). الخصائص المورفومترية والهيدرولوجية لحوض وادي الحسا باستخدام نظم المعلومات الجغرافية بمجلة جامعة النجاح للأبحاث (العلوم الإنسانية)، 31(6)، 965-998.
- [3] الشامخ، نعيمة موسى، والمبروك، الصيد ضو. (2022). دراسة الخصائص المورفومترية والهيدرولوجية لحوض وادي الأثل باستخدام نظم المعلومات الجغرافية ونموذج الارتفاعات الرقمية. مجلة القرطاس للعلوم الإنسانية والتطبيقية، 17، 230-265.
- [4] العلواني، محمد عطايا. (2004). التحليل الرياضي الجيومورفومترى لبعض الأودية الساحلية بمنطقة الجبل الأخضر [رسالة ماجستير غير منشورة]. جامعة بنغازي.
- [5] الغزاوي، منعم علي، والجياشي، علي داخل، والعتابي، إياد عبد. (2019). التحليل المورفومترى لحوض وادي أم الخشاف جنوب غرب العراق: دراسة جيومورفولوجية باستخدام نظم المعلومات الجغرافية والاستشعار عن بعد مجلة دراسات: العلوم الإنسانية والاجتماعية، 46(2)، 360-385.
- [6] المزوغي، طارق حامد، وعون، عمر ضو. (2020، نوفمبر). دراسة الخصائص المورفومترية لحوض وادي غان باستخدام نظم المعلومات الجغرافية. بحث مقدم إلى المؤتمر الدولي الثالث للتقنيات الجيومكانية، طرابلس، ليبيا.

- [7] المفرجي، زهراء علاء. (2024). التحليل المكانى للخصائص المورفومترية لأحواض وديان جنوب جبل كيره في محافظة دهوك باستخدام نظم المعلومات الجغرافية [رسالة ماجستير غير منشورة]. جامعة ميسان.
- [8] بن طاهر، لبنى سليمان. (2022). التحليل المورفومترى لأحواض أودية التصريف بمدينة بنغازي بالتكامل بين نظم المعلومات الجغرافية والاستشعار عن بعد. *مجلة البحوث الهندسية والعلوم التطبيقية*, 15(10), 45-45.
- [9] تيم، فيروز كامل. (2015). حوض وادي زقلاب دراسة جيومورفولوجية [رسالة ماجستير غير منشورة]. الجامعة الإسلامية بغزة.
- [10] الدليمي، خلف، والجابري، علي. (2018). استخدام الجيوماتكس في دراسة الخصائص المورفومترية لأحواض الأودية الجافة. دار صفا للنشر والتوزيع.
- [11] الدليمي، عبد الرزاق نائف، والنيش، فواز حميد. (2024). التحليل المورفومترى لأحواض التصريف المائي لمنطقة زاوية. *مجلة التربية للعلوم الإنسانية*, المجلد الرابع، 400-425.
- [12] سلوم، غزوان محمد. (2012). حوض وادي هريرة دراسة جيومورفولوجية مجلة جامعة دمشق، 28(3), 545-578.
- [13] سلمان، جميلة فاخر. (2022). التغيرات المورفولوجية لمروحة رانية الفيضية (شمال العراق) دراسة جيومورفولوجية [أطروحة دكتوراه غير منشورة]. جامعة بغداد.
- [14] شوشي، جيهان عبود. (2021). هيروولوجية حوض وادي كردة سور في محافظة أربيل [رسالة ماجستير غير منشورة]. جامعة بغداد.
- [15] قناو، خالد أحمد. (2021). المناخ وأثره على التطور الجيومورفولوجي لحوض وادي لبدة [أطروحة دكتوراه غير منشورة]. جامعة طرابلس.
- [16] مجید، مسراة غالب. (2025). الدلالات الهيدرولوجية للمعاملات المورفومترية الرئيسة لحوض كديرة العضبي في محافظة البصرة باستخدام نظم المعلومات الجغرافية [رسالة ماجستير غير منشورة]. جامعة البصرة.
- [17] محمد، نزيه علي. (2007). جيومورفولوجية حوض التصريف النهري الأعلى من وادي الخليل [رسالة ماجستير غير منشورة]. جامعة النجاح الوطنية.
- [18] ناصر، شوقي أحمد. (2016، ديسمبر). مقارنة بين نموذجي الارتفاعات (SRTM3 & ASTER) في استخلاص الخصائص المورفومترية لحوض وادي تنزوفت. بحث مقدم إلى المؤتمر الدولي الثاني للتقنيات الجيومكانية، طرابلس، ليبيا.

**Disclaimer/Publisher's Note:** The statements, opinions, and data contained in all publications are solely those of the individual author(s) and contributor(s) and not of **CJHES** and/or the editor(s). **CJHES** and/or the editor(s) disclaim responsibility for any injury to people or property resulting from any ideas, methods, instructions, or products referred to in the content.